

II-101 沖積地の浅層地下水位の変動について

京大防災研 正員 ○ 石原守雄
日本工営 正員 清原芳秀

1. 浅層地下水位の実測値

浅層地下水位は利用可能水量の決定や周辺の湖水位・河川水位変化の影響の推定などの目的で各地で実測されてゐる。これらの測定値の多くの中には、季節的な変動とともに降雨によるかなり急激な変動を示す。図-1は、建設者によって実施されたびわ湖周辺の沖積地における浅層地下水位の観測結果の一部を、湖水位、河川水位および日降水量とともに示したもので、その位置は図-2に示されている。図-1においても、上述のような地下水位の変動特性が明瞭に認められるが、本丈はこうした変動が何に起因するか、換言すると、どのような水文量の変化によってたらされるかを、数値計算によって検討したものである。

2. 基礎式とその差分表示

図-2に示すように、海岸線に沿ってX軸、河川に沿って上流に向ってY軸となり、不透水層の勾配をI、透水係数をK、空隙率をn、地表面からの浸透強度をw、不透水面から離れた位置までの距離をLとし、基礎方程式が次式で与えられるとはすく知られてゐる。

$$\frac{1}{H^k} \frac{\partial H}{\partial t} = \frac{K}{n} \left(\frac{\partial^2 H}{\partial x^2} + \frac{\partial^2 H}{\partial y^2} \right) + \frac{K}{n} \cdot \frac{I}{H^k} \frac{\partial H}{\partial y} + \frac{w}{n} \quad \dots \dots (1)$$

$$= 1, H = h$$

(1)式は2次元非線形であるので、数値計算も容易ではない。そこで、地下水位の変動が何に起因するか調べようとする本丈の目的には沿うには、できるだけ非線形の効果が導入されており、しかも計算時間が短かい計算法が有用であると考えて、非線形性を考慮するため、
** predictor-corrector model*, 2次元の計算を簡単化するために、
** alternated direction implicit method (A.D.I法)*を用い、これらを組み合せてつきの手法で数値計算を行った。

$$H(x, y, t) = H_{ijk}, x = i \cdot \Delta x, y = j \cdot \Delta y, t = k \cdot \Delta t$$

(i, j, k = 1, 2, 3, ...)と表現し、A.D.I法における1st step, すなはちY方向を固定してX方向に計算を進めるとき、predictor-corrector modelを適用して、

$$\text{predictor : } \frac{1}{H_{ij}} \cdot \frac{H_{ijk+1/2} - H_{ijk}}{\Delta t / 2} = \frac{K}{n} \cdot \left\{ \Delta_x^2 H_{ijk+1/2} + \Delta_y^2 H_{ijk+1/2} \right\} + \frac{K}{n} \cdot \frac{I}{H_{ijk}} \cdot S_y H_{ijk} + \frac{w}{n} \cdot w(ijk) \quad \dots \dots (2)$$

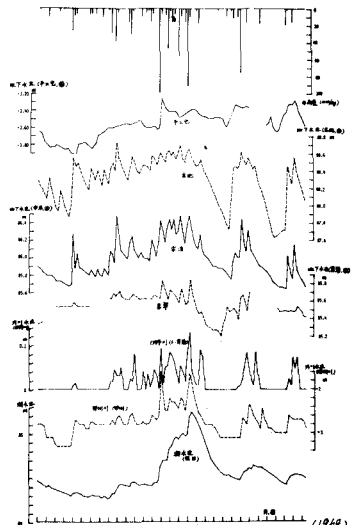


図-1 地下水位、河川水位、湖水位
および降水量の変化

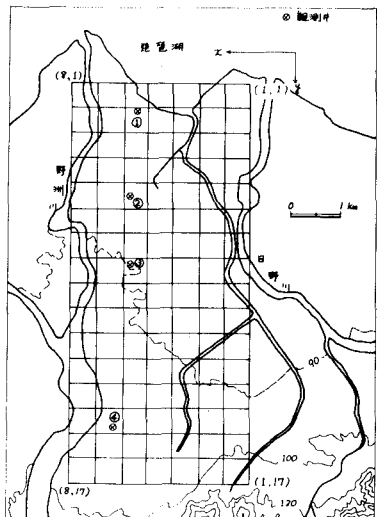


図-2 位置図

* Irwin Ramson and others : Numerical methods in subsurface hydrology with an introduction to the finite element method, Wiley-Interscience, 1971.

$$\text{corrector} : \frac{1}{H_{ijk+1}} \cdot \frac{H_{ijk+1} - H_{ijk}}{\Delta t} = \frac{k}{n} \cdot \left\{ \Delta_x^2 H_{ijk+1} + \Delta_y^2 H_{ijk} \right\} + \frac{k}{n} \cdot \frac{I}{H_{ijk+\frac{1}{2}}} \cdot \delta_y H_{ijk} + \frac{2}{n} \cdot \omega(ijk+\frac{1}{2}) \quad \dots \dots (3)$$

2nd step, ちなみに x 方向を固定して y 方向に計算を進めるときは、

$$\text{predictor} : \frac{1}{H_{ijk+1}} \cdot \frac{H_{ijk+\frac{3}{2}} - H_{ijk+1}}{\Delta t/2} = \frac{k}{n} \cdot \left\{ \Delta_x^2 H_{ijk+1} + \Delta_y^2 H_{ijk+\frac{3}{2}} \right\} + \frac{k}{n} \cdot \frac{I}{H_{ijk+\frac{3}{2}}} \cdot \delta_y H_{ijk+\frac{3}{2}} + \frac{2}{n} \cdot \omega(ijk+1) \quad \dots \dots (4)$$

$$\text{corrector} : \frac{1}{H_{ijk+\frac{3}{2}}} \cdot \frac{H_{ijk+2} - H_{ijk+1}}{\Delta t} = \frac{k}{n} \cdot \left\{ \Delta_x^2 H_{ijk+1} + \Delta_y^2 H_{ijk+2} \right\} + \frac{k}{n} \cdot \frac{I}{H_{ijk+\frac{3}{2}}} \cdot \delta_y H_{ijk+2} + \frac{2}{n} \cdot \omega(ijk+\frac{3}{2}) \quad \dots \dots (5)$$

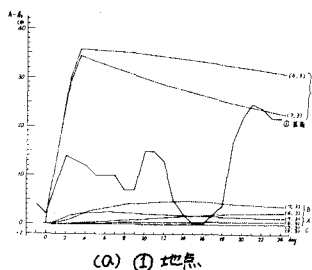
$$= = =, \Delta_x^2 H_{ijk} = \frac{H_{ijk+1} - 2H_{ijk} + H_{ijk-1}}{\Delta x^2}, \Delta_y^2 H_{ijk} = \frac{H_{ijk+1,k} - H_{ijk} + H_{ijk-1,k}}{\Delta y^2}, \delta_y H_{ijk} = \frac{H_{ijk+1,k} - H_{ijk-1,k}}{2\Delta y} \quad \dots \dots (6)$$

3. 境界水丈量の変化に対する地下水位の応答とその考察

現地における浅層地下水帯の状態は非常に複雑であるが、これを厳密に計算することはむずかしい。本文は、はじめに述べたように、地下水位の変動が主としてどのような境界水丈量に起因するかを調べることを目的としているので、簡単な境界を仮定して数値計算を行った。すなわち、図-2に示した格子状の内部に浅層地下水帯が $I=0.00175$ の一定勾配で分布し、格子線1, 8に同一勾配の河川があり常に水が存在するとした。 $\Delta x = \Delta y = 500m$, $\Delta t = 1day$ とて計算したが、与えた境界水丈量としては、A: 河川水位、B: 湖水位、C: 山側からの流入量、D: 地表からの浸透水であり、図-3に示すように、定常状態にある地下水帯は、 $t=0$ 以降にそれを中の水丈量を別々に変化させてその応答を計算したのである。

図-4 (a), $k=1.5 \times 10^3 m/sec$, $n=0.2$

の場合の応答曲線を、それぞれの格子点近くにある井戸に対する観測水位とともに示したものである。この場合、 $t=0 \sim 2$ 間に $56mm$, $8 \sim 10$ 間に $34mm$, $17 \sim 19$ 間に $48mm$ の降雨がある、河川水位は約1日遅れで $20cm$ 程度の変化、湖水位はこの期間に約 $30cm$ 減増している。図-4から5はいずれの境界水丈量の変化も実測の井戸水位の変化を説明することができるよう応答を示しておらず、また、ここで示した $k=1.5 \times 10^3 m/sec$ は揚水試験等によってえられてくる値の10倍の大きさであることをから、観測された井戸水位の比較的急激な変動は、図-3で示したような境界水丈量の変化によるものではないと考えられる。ただし、浸透量の変化に対する応答が比較的急激であるところから、井戸付近のみに卓越した浸透量の変化があると想定し、図-5に示す場合(一次元の場合)の計算と predictor-corrector modelによつて計算した結果を同図に示した。この図では $k=1.5 \times 10^{-4} m/sec$ であるにもかかわらず、ほぼ実測の井戸水位の変動を説明できるような変化がみられるので、河川の近く近傍を除き、観測される地下水位の経続時間が数日の比較的急激な変化は、うして局所的な雨水浸透によるものと考えられる。これに対して、地下水位のゆっくりとした変動の原因が境界水丈量の季節的変動によつて、従来からの数値計算や水収支的研究から明らかにされていることである。



(a) ① 地点

図-4. 境界水丈量の変化に対する地下水位の応答

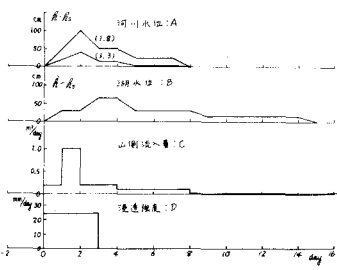
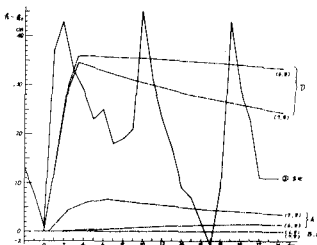


図-3. 境界水丈量の変化



(b) ③ 地点

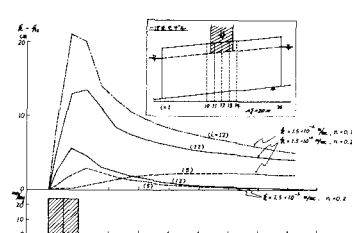


図-5. 局所的浸透による応答(一次元)